УДК 539.186.3

ФИЗИКА

## А. П. КАЛИНИН, В. Б. ЛЕОНАС

## ЭКСПЕРИМЕНТАЛЬНОЕ ИССЛЕДОВАНИЕ СТОЛКНОВЕНИЙ АТОМОВ Не В ОСНОВНОМ И МЕТАСТАБИЛЬНОМ 23S СОСТОЯНИЯХ

(Представлено академиком Г. И. Петровым 21 III 1972)

Целью настоящей работы является исследование термов возбужденной молекулы  $\operatorname{He}_{2}^{*}(2^{3}\Sigma_{u,g}^{+})$  методом упругого рассеяния.

До последнего времени экспериментальное исследование взаимодействия между метастабильными атомами гелия и атомами гелия в основном состоянии проводилось, как правило, в условиях столкновений с тепловыми энергиями, не позволявших «заглянуть» за предсказываемые теорией потенциальные барьеры (1) для симметричного и антисимметричного состояний молекулы  $\text{He}_2^*$ . Используя технику упругого рассеяния быстрых пучков, в данной работе изучено дифференциальное рассеяние атомов  $\text{He}(2^3S)$  в гелии, соответствующее области малых расстояний сближения до и за вершинами упомянутых барьеров.

Для измерения дифференциальных сечений в диапазоне приведенных углов  $\theta E = 0.4 - 20$  эв рад ( $\theta E \sim V(r)$ ) использовалась установка, аналогичная описанной в ( $^2$ ); энергия пучка 600 эв в лабораторной системе координат.

Измеренный в эксперименте ток рассеянных частиц  $I(\alpha)$ ,  $\alpha$  — угол положения детектора относительно оси нерассеянного пучка, связан с дифференциальным сечепием рассеяния соотношением

$$I(\alpha) = B \int_{0}^{\pi/2} \sigma(\theta) f_{\alpha}(\theta) \sin \theta \, d\theta \tag{4}$$

(в этом выражении B — константа, включающая параметры эксперимента) позволяющим при известной аппаратной функции  $f_{\alpha}(\theta)$  как решать обрат ную задачу пахождения  $\sigma(\theta)$  по  $I(\alpha)$ , так и производить свертку извест ного дифференциального сечения в измеряемый ток.

Метод точного вычисления  $f_{\alpha}(\theta)$  рассмотрен пами ранее (3) и в данных измерениях анпаратная функция была вычислена заново для измененной геометрии пучка и детектора (применение детектора — канального элек тронного умножителя позволило значительно улучшить угловое разреше ние детектора). Для получения пучков метастабильных атомов с энергией 600 эв использовалась перезарядка ионов  $\mathrm{He}^+(1^4S)$  в парах натрия. Со гласно (4) для  $\mathrm{He}^++\mathrm{Na}$  полные сечения перезарядки в  $2^3S$ - и  $2^4S$ -состоя ния для E=600 эв относятся как 13,5:1; отсюда следует оценка содержа ния  $2^3S$ -атомов в пучке 93%; действительное содержание будет выше, по скольку геометрия установки такова, что в нейтральный пучок отбираются частицы, отклопившиеся на малый угол, т. е. перезарядившиеся с наимень шим дефектом энергии.

Детектирование пучка осуществлялось в режиме дискретного счета Использование высоких энергий пучка приводит к тому, что детектор и различает частиц в основном и возбужденном состояниях; соответственн измеряемые сечения являются суммой сечений упругого рассеяния и перє дачи возбуждения.

На рис. 4a сплошной линией показана найденная по  $I(\alpha)$  зависимост  $\sigma(\theta)$ .

Непосредственное обращение зависимости  $\sigma(\theta)$  в потенциал взаимодействия V(r) из-за существования симметричного g и антисимметричного u состояний молекулы  $\operatorname{He_2}^*$  затруднено. Однако относительная простота электронной структуры системы  $\operatorname{He_2}^*$  и соответственно надежность неэмпирических теоретических предсказаний  $V_u$  и  $V_g$  позволяют применить другой путь, аналогичный используемому в молекулярной спектроскопии. Целесообразным оказывается сравнение рассчитанных для теоретического потенциала дифференциальных сечений с измеренным — совпадение можно рассматривать как указание на точность предсказания энергий, и наоборот.

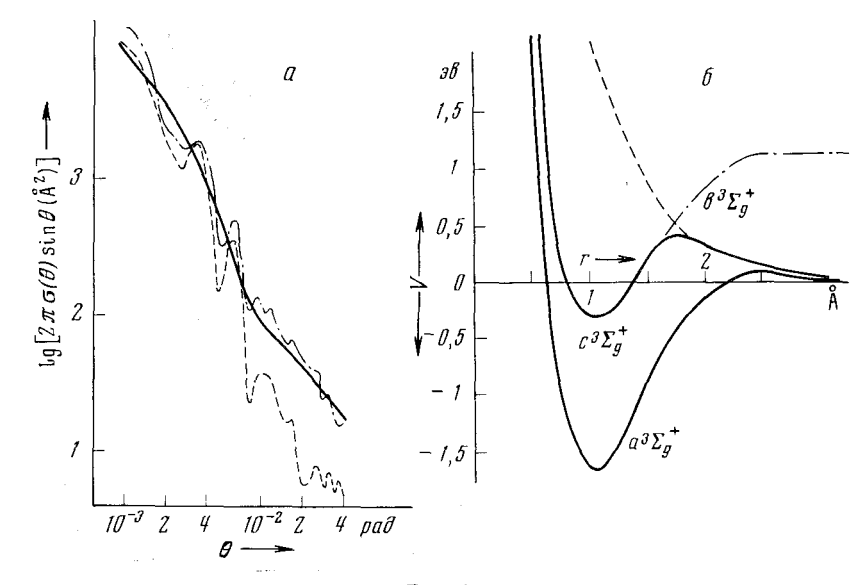


Рис. 1

При оценке теоретических расчетов ( $^1$ ,  $^5$ )  $V_{u,g}$  наиболее надежными представляются результаты работы ( $^1$ ), показанные на рис. 16 сплошными линиями.

Измеряемые полные дифференциальные сечения (упругого расеяния и передачи возбуждения), согласно (6), можно описать соотношением

$$\sigma(\theta) = \frac{1}{2} \left[ \left| f_{\mathcal{S}}(\theta) \right|^2 + \left| f_{\mathcal{U}}(\theta) \right|^2 \right], \tag{2}$$

где  $f_{u,\;g}(\theta)$  — амплитуды рассеяния в  $V_{u,\;g}$ -потепциалах, даваемые стандартным выражением

$$f(\theta) = (2ik)^{-1} \sum_{l=0}^{\infty} (2l+1) \left[ \exp(2i\eta_l) - 1 \right] P_t(\cos \theta). \tag{3}$$

Вычисление амплитуд рассеяния  $f_{u,g}(\theta)$  в квазиклассическом приближении, а по ним сечений  $\sigma(\theta)$  проводилось на ЭВМ БЭСМ-4, при этом бесконечный предел суммы заменялся  $l_{\max}$ , соответствующим

$$b_{\mathrm{max}} = \frac{l_{\mathrm{max}}}{K} \ (V_u, g \, (b_{\mathrm{max}}) < 10^{-3} \, \mathrm{JB}).$$

На рис. 1a пунктирной липией показан ход вычисленной зависимости  $\sigma(\theta)$  для рассеяния на  $^3\Sigma_u^+$  -термах (сплошные линии рис. 16) молекулы  $\mathrm{He}_2^*$ . Как видно из сравнения, вычисленная и измеренная зависимости  $\sigma(\theta)$  заметно различаются. Это различие не обусловлено петочностью определения  $\sigma(\theta)$  по  $I(\alpha)$ , поскольку такое же различие существует и для  $I(\alpha)$ . Расхождение вычисленной и измеренной зависимостей  $\sigma(\theta)$  и  $I(\alpha)$  объясняется отличием реального хода термов от теоретически предсказапного.

Специфической особенностью адиабатического g-терма является наличие барьера, возникшего в результате учета взаимодействия  ${}^3\Sigma_g{}^+$ -термов, соответствующих системам  $\operatorname{He}(1^{\iota}S) - \operatorname{He}(2^{\mathfrak{I}}S)$  и  $\operatorname{He}(1^{\iota}S) - \operatorname{He}(2^{\mathfrak{I}}P)$  (пунктир и штрих-пунктир соответственно).

Улучшения согласия вычислений и измерений можно ожидать при отказе от адиабатического и привлечении «диабатического» хода g-терма. Ход диабатического g-терма можно получить путем экстраноляции начального участка адиабатической зависимости (рис. 16, пунктир). Результаты вычисления  $\sigma(\theta)$  с использованием  $a^3\Sigma_u^+$ -терма и диабатического отталкивательного g-терма показаны на рис. 1a штрих-пунктирной линией.

Обращает внимание значительное улучшение согласия измерений и расчета. Сохраняющиеся даже для свертки  $\sigma(\theta)$  в  $I(\alpha)$  слабые осцилляции теоретического хода и отсутствие их на экспериментальной зависимости говорят о возможности дальнейшего уточнения диабатического подхода ( $^{7}$ ).

В следующем приближении можно учесть эффект  ${}^{3}S - {}^{3}P$ -переходов

при прохождении точки сближения соответствующих термов.

В заключение авторы выражают благодарность С. С. Замошниковой за помощь в расчетах.

Институт космических исследований Академии наук СССР Москва Пост**упило** 13 III 1972

## ПИТИРОВАННАЯ ЛИТЕРАТУРА

<sup>4</sup> H. J. Kolker, H. H. Michels, J. Chem. Phys., **50**, 1763 (1969). <sup>2</sup> A. П. Калинип, В. Б. Леонас, Письма ЖЭТФ, **14**, 481 (1971). <sup>3</sup> А. П. Калинин, В. Б. Леонас, А. В. Сермягин, Вестн. Московск. унив. сер. физ., № 3, 245 (1971). <sup>4</sup> Е. Л. Думан, VII ICPEAC, abstract of papers, Amsterdam, 1971, р. 471. <sup>5</sup> D. J. Klein, Е. М. Greenawalt, F. A. Matsen, J. Chem. Phys., **47**, 4820 (1967). <sup>6</sup> H. Мотт, Г. Месси, Теория атомных столкновений, М., 1969. <sup>7</sup> S. A. Evans, N. F. Lane, Phys. Rev., **4A**, 2235 (1971).